

Vkládání pomocí Viterbiho algoritmu

Andrew Kozlik

KA MFF UK

Vkládání pomocí Viterbiho algoritmu

- ▶ Cíl:
 - ▶ Využít teorii konvolučních kódů.

- ▶ Motivace:
 - ▶ Viterbiho dekodér je soft-decision dekodér.
 - ▶ Každému prvku nosiče přiřadíme váhu, která udává jeho citlivost na změnu.
 - ▶ Nebudeme nutně minimalizovat počet změn v nosiči, ale celkovou váhu změn.

Značení

- ▶ Nosič rozdělujeme na bloky n hodnot z konečného tělesa \mathbb{F}_q .
- ▶ Rozdíl oproti maticovému vkládání:
 - ▶ Nepracujeme s jednotlivými bloky samostatně.
 - ▶ Sestrojíme z nich posloupnost vektorů $\{\mathbf{x}_i\}_{i=0}^{\ell-1}$, kde $\mathbf{x}_i = (x_i^{(1)}, \dots, x_i^{(n)})^T \in \mathbb{F}_q^n$.
- ▶ Máme tedy nosič $\{\mathbf{x}_i\}_{i=0}^{\ell-1}$ a stegoobjekt $\{\mathbf{y}_i\}_{i=0}^{\ell-1}$.
- ▶ Zpráva je obecně posloupnost vektorů $\{\mathbf{z}_i\}_{i=0}^{\ell-1}$, kde $\mathbf{z}_i \in \mathbb{F}_q^m$.
 - ▶ My se omezíme na případ $m = 1$.
 - ▶ Zpráva je pak posloupnost jednosložkových vektorů.
 - ▶ Budeme ji psát jako posloupnost skalárů $\{z_i\}_{i=0}^{\ell-1}$.

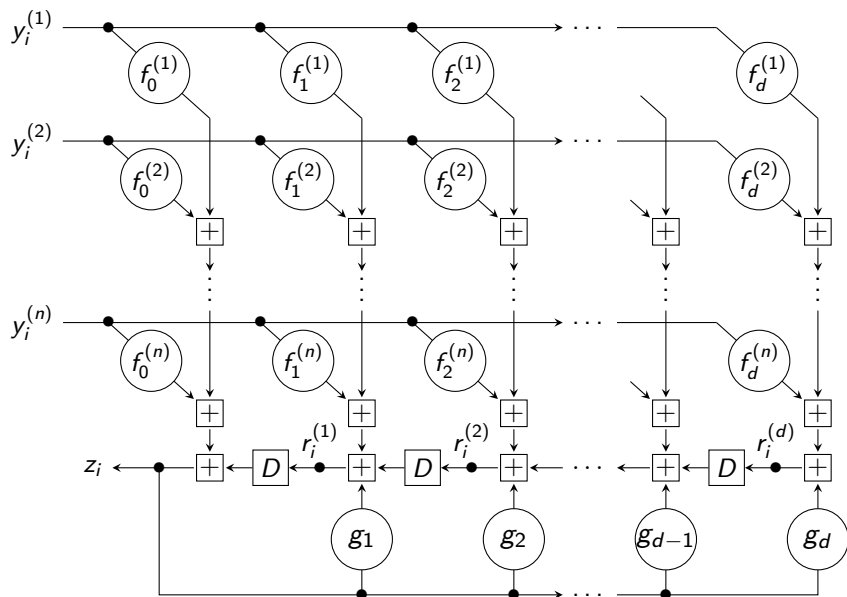
Proč se omezujeme na $m = 1$?

- ▶ Složitost Viterbiho algoritmu neúměrně narůstá s m .
- ▶ Relativní kapacita nosiče je $\alpha = \frac{m \log_2 q}{n}$, čili jsme omezeni na hodnoty tvaru $\alpha = \frac{\log_2 q}{n}$.
- ▶ Nevadí. Ve steganografii obvykle cílíme na α blízké 0.
- ▶ Nicméně, zobecnění pro $m > 1$ je jednoduché.

Konvoluční extrakce

- ▶ Extrakce zprávy se provádí konvolučním překladačem.
- ▶ Implementace pomocí konvolučního kodéru.
 - ▶ Kontrolorova normální forma: n paměťových registrů.
 - ▶ Pozorovatelova normální forma: $m = 1$ paměťový registr.
- ▶ $r_i^{(j)}$ = hodnota j -té buňky registru na konci i -tého kroku.
- ▶ d = délka registru.
- ▶ D = operátor zpoždění.
- ▶ Definujeme $r_0^{(j)} = 0$ pro $1 \leq j \leq d$ (počáteční stav).
- ▶ Hodnoty $f_j^{(k)} \in \mathbb{F}_q$ a $g_j \in \mathbb{F}_q$ jsou konstanty a $g_0 = 0$.

Konvoluční extrakce



Algoritmus (konvoluční extrakce)

vstup: stegoobjekt $\{\mathbf{y}_i\}_{i=0}^{\ell-1}$ z \mathbb{F}_q^n ,
parametry $f_j^{(k)} \in \mathbb{F}_q$ a $g_j \in \mathbb{F}_q$

výstup: zpráva $\{z_i\}_{i=0}^{\ell-1}$

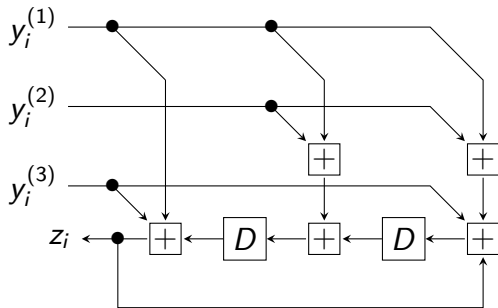
```
1   $(s_0, \dots, s_d) := (0, \dots, 0)$ 
2  for  $i = 0, \dots, \ell - 1$  do
3    for  $j = 1, \dots, n$  do
4       $(s_0, \dots, s_d) := (s_0, \dots, s_d) + y_i^{(j)}(f_0^{(j)}, \dots, f_d^{(j)})$ 
5       $z_i := s_0$ 
6       $(s_0, \dots, s_d) := (s_0, \dots, s_d) + s_0(g_0, \dots, g_d)$ 
7       $(s_0, \dots, s_d) := (s_1, \dots, s_d, 0)$ 
8  return  $\{z_i\}_{i=0}^{\ell-1}$ 
```

Vkládání

- ▶ Extrakční algoritmus popíšeme jako konečný překladač.
- ▶ Pro tento překladač sestojíme trelážový graf.
(Graf vývoje stavů v závislosti na vstupu.)
- ▶ Obecně: Cesty v grafu = všechny možné vstupy překladače.
- ▶ Náš trik: Graf sestavíme tak, aby obsahoval pouze ty cesty (vstupy), jejichž výstupem je zpráva, kterou chceme vložit.
- ▶ Tyto cesty jsou kandidátky na stegoobjekt.
- ▶ Viterbiho algoritmus potom najde cestu, která se nejméně liší od nosiče, resp. má nejmenší váhu (distorzi).

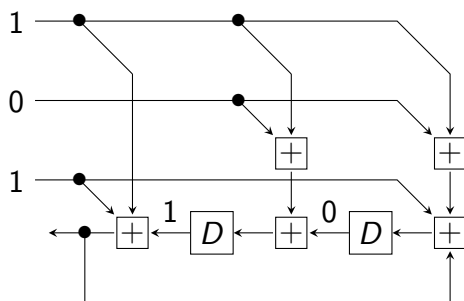
Příklad

- ▶ Celý proces předvedeme na následujícím příkladu.
- ▶ Mějme extrakční algoritmus nad \mathbb{F}_2 s parametry $\mathbf{f}(D) = (1 + D + D^2, D + D^2, 1 + D^2)$ a $g(D) = D^2$:



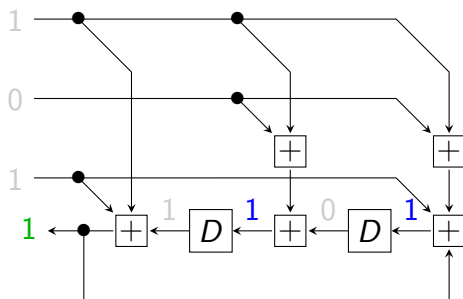
Příklad

- ▶ Ukázka přechodu automatu:
 - ▶ Počáteční stav $r_{i-1}^{(1)} r_{i-1}^{(2)} = 10$. Vstup $\mathbf{y}_i = (1, 0, 1)^T$.
 - ▶ Výsledný stav $r_i^{(1)} r_i^{(2)} = 11$. Výstup $z_i = 1$.
 - ▶ Zápis: $\boxed{10} \xrightarrow{101/1} \boxed{11}$

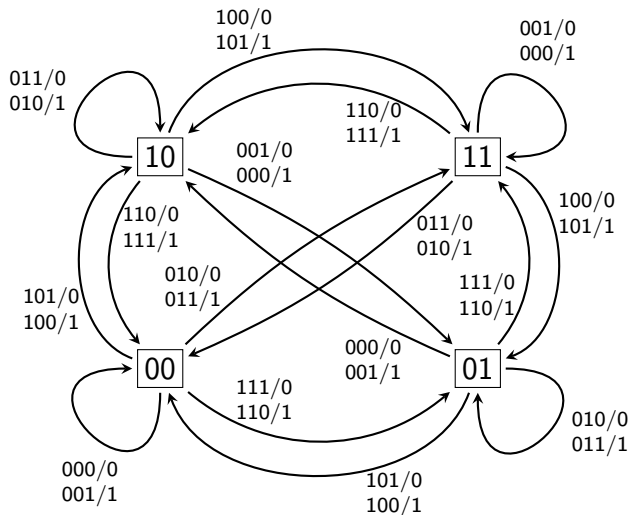


Příklad

- ▶ Ukázka přechodu automatu:
 - ▶ Počáteční stav $r_{i-1}^{(1)} r_{i-1}^{(2)} = 10$. Vstup $\mathbf{y}_i = (1, 0, 1)^T$.
 - ▶ Výsledný stav $r_i^{(1)} r_i^{(2)} = 11$. Výstup $z_i = 1$.
 - ▶ Zápis: $\boxed{10} \xrightarrow{101/1} \boxed{11}$

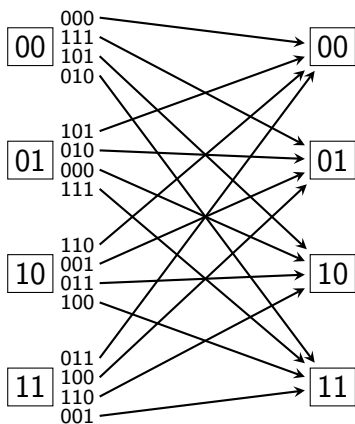


Příslušný konečný překladač

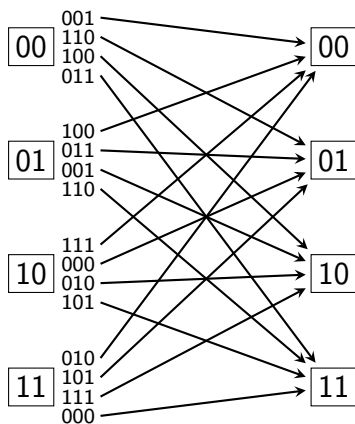


Trelážové moduly

Přechody rozdělíme do dvou trelážových modulů podle jejich výstupních hodnot.



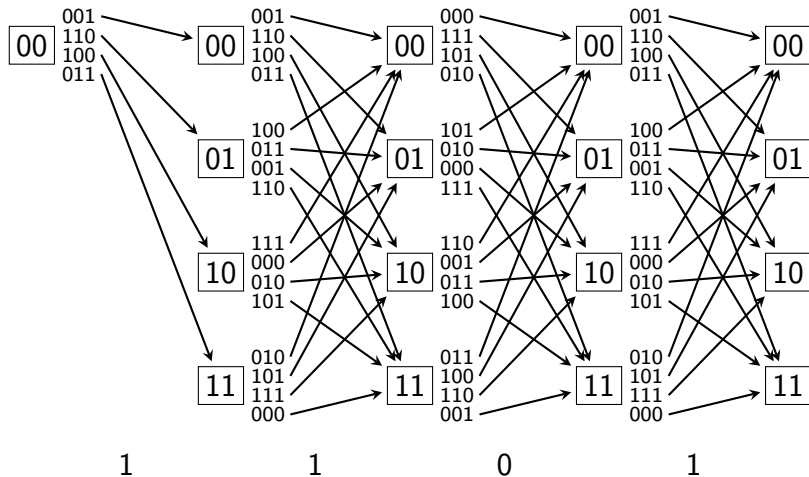
Výstup 0



Výstup 1

Treláž pro vložení zprávy 1101

V závislosti na zprávě pospojujeme moduly do treláže.



Viterbiho algoritmus najde cestu treláží, která se nejvíce „podobá“ nosiči.

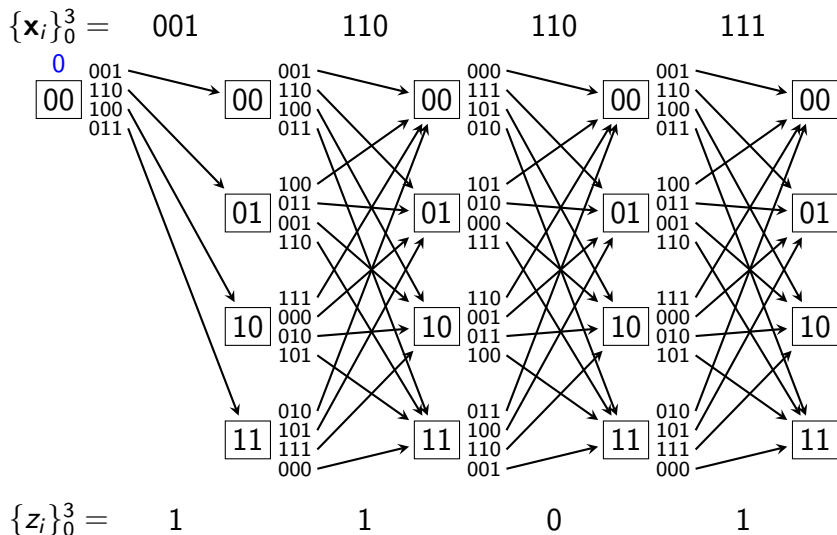
Rozdíly oproti treláži pro dekódování kódů

- ▶ Treláž se skládá z různých modulů v závislosti na zprávě.
- ▶ Nevyžadujeme, aby překladač skončil v nulovém stavu.
- ▶ Hrany označujeme vstupními hodnotami překladače místo výstupních hodnot.
 - ▶ Vkládač: Upravuje vstup, aby dosáhl požadovaný výstup.
 - ▶ Dekodér: Upravuje poškozený výstup, aby dosáhl platný výstup.
- ▶ Vstup překladače je delší než výstup.
 - ▶ Konvoluční extraktor: $n \geq m$.
 - ▶ Konvoluční kodér: $n \leq m$.

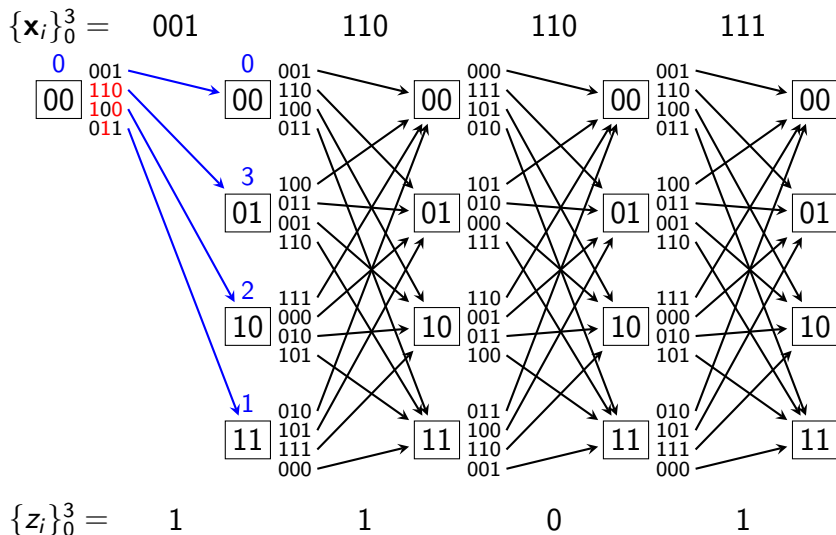
Viterbiho algoritmus

- ▶ V první fázi procházíme treláž zleva doprava, tj. pro $i = 0, \dots, \ell - 1$.
 - ▶ Pro každé i máme až q^d možných stavů překladače.
 - ▶ Pro každý z těchto stavů spočítáme váhu nejlehčí cesty, která do něho vede, a zaznamenáme poslední hranu cesty.
- ▶ Jakmile dojdeme na konec treláže, vybereme stav, do kterého vede nejlehčí cesta.
- ▶ Zpětným průchodem tuto cestu zrekonstruujeme.
- ▶ Průběh algoritmu si předvedeme na příkladu nosiče $\{\mathbf{x}_i\}_{i=0}^3 = \{(0, 0, 1)^T, (1, 1, 0)^T, (1, 1, 0)^T, (1, 1, 1)^T\}$
- ▶ Používáme Hammingovu metriku.

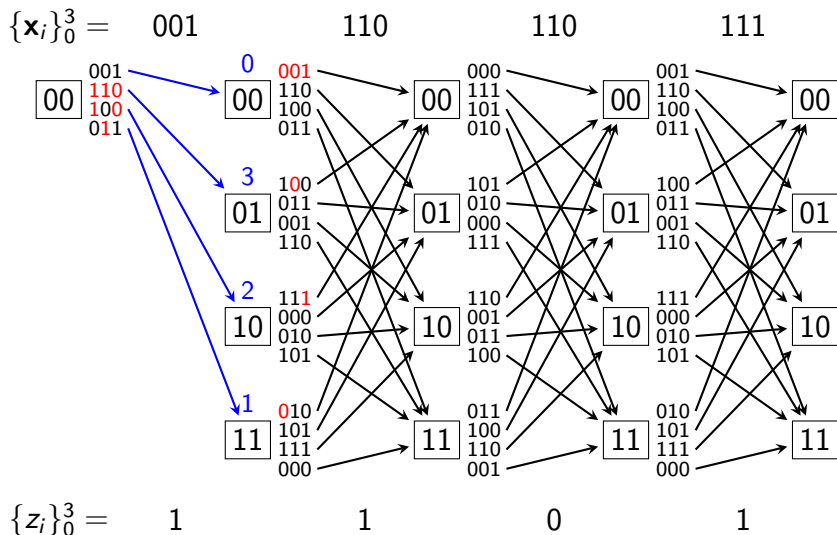
Viterbiho algoritmus



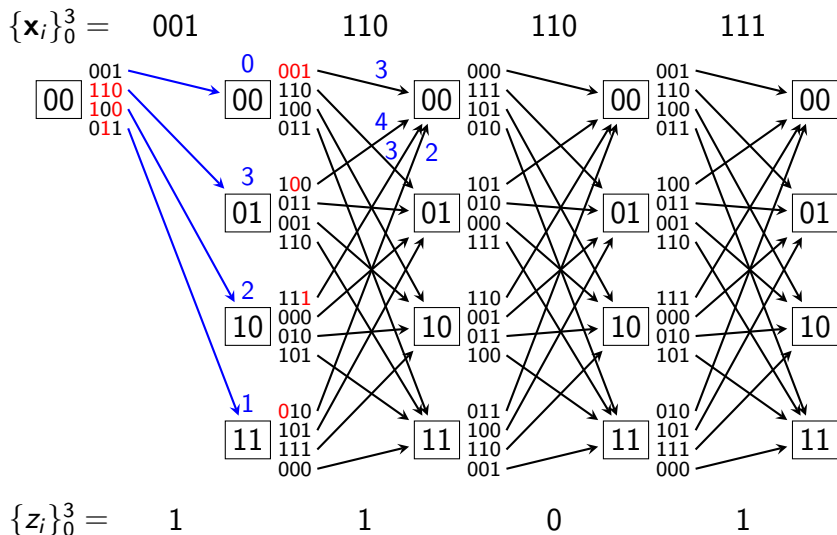
Viterbiho algoritmus



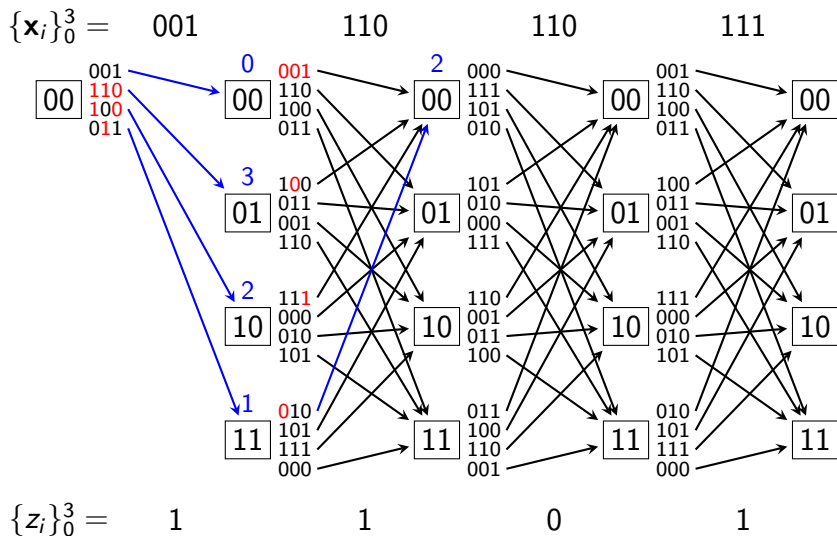
Viterbiho algoritmus



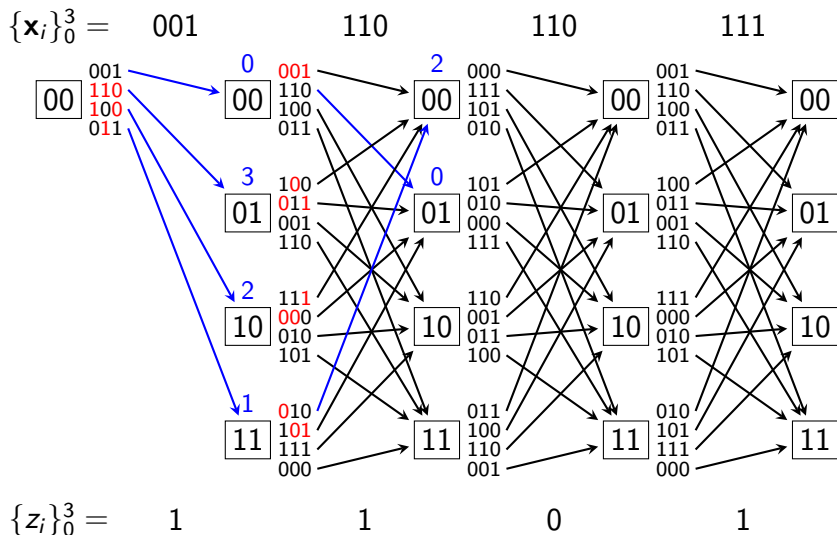
Viterbiho algoritmus



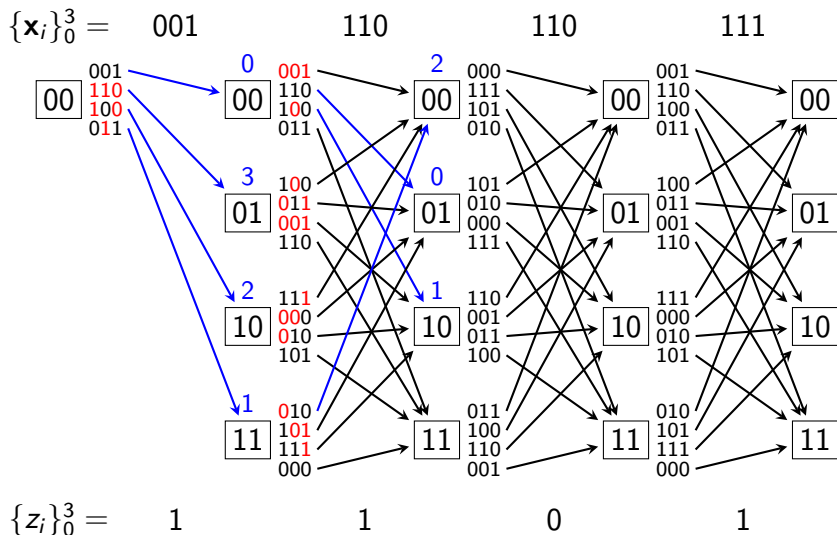
Viterbiho algoritmus



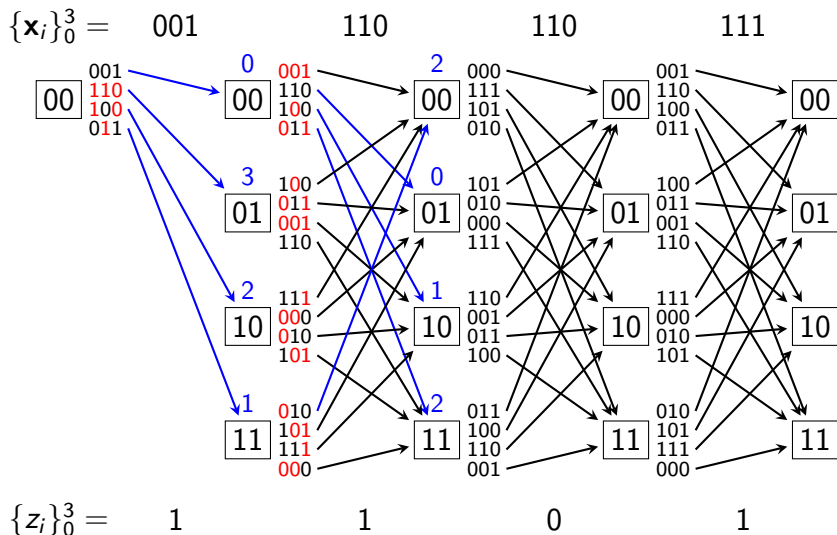
Viterbiho algoritmus



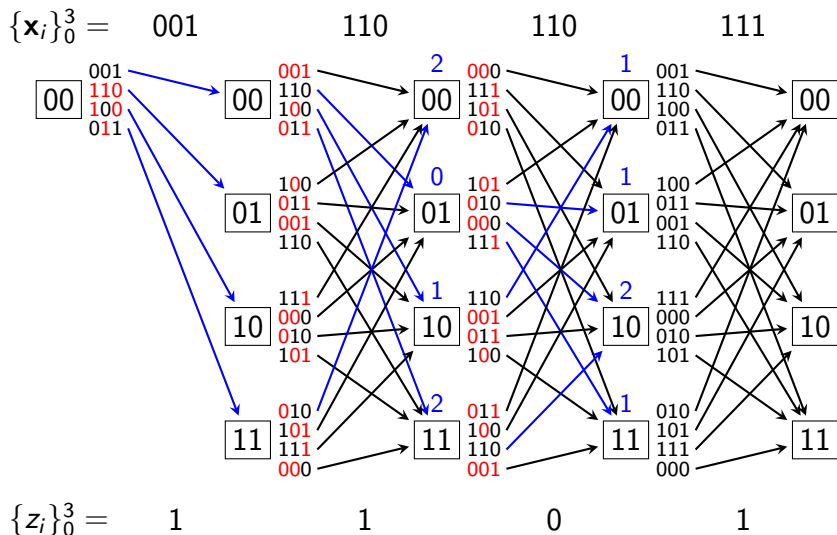
Viterbiho algoritmus



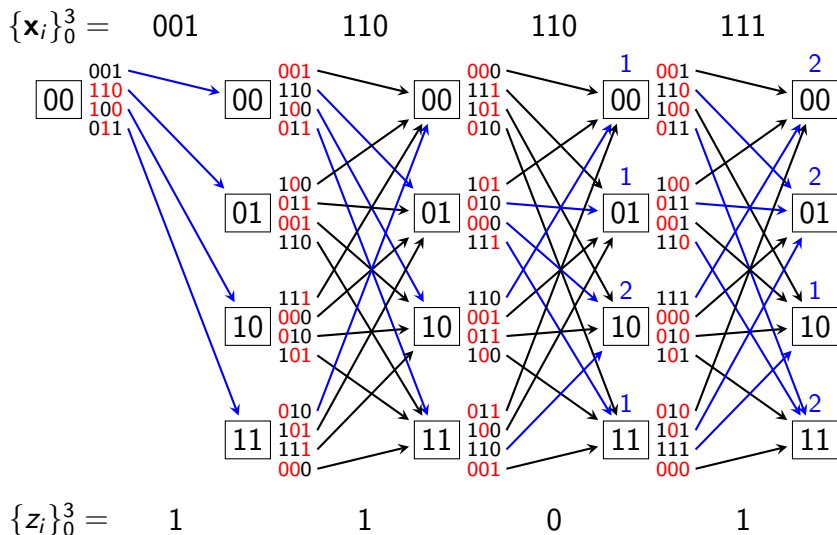
Viterbiho algoritmus



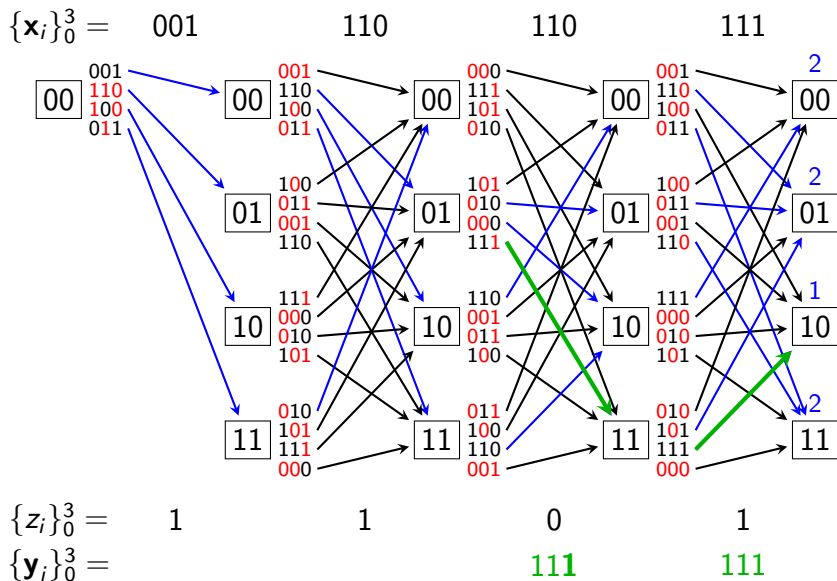
Viterbiho algoritmus



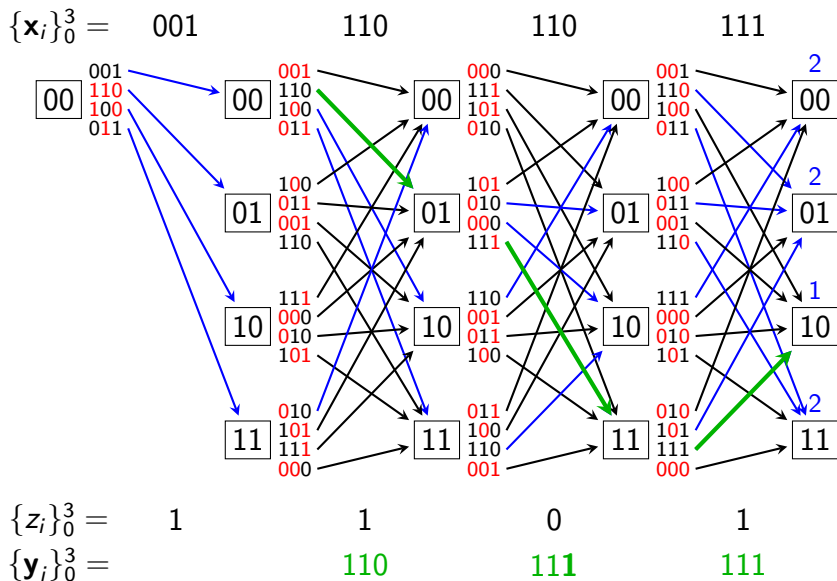
Viterbiho algoritmus



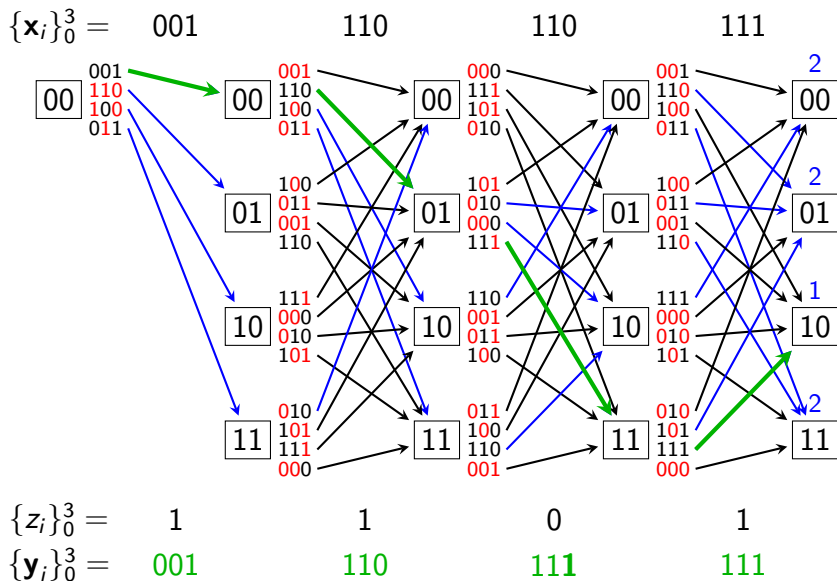
Viterbiho algoritmus



Viterbiho algoritmus



Viterbiho algoritmus



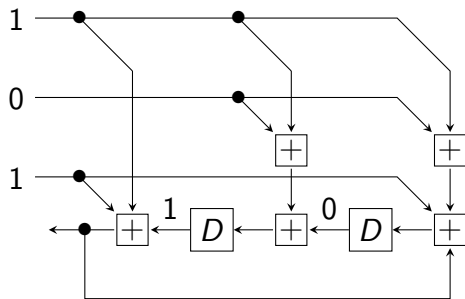
Časová složitost algoritmu

- ▶ Procházíme ℓ modulů zleva doprava.
- ▶ V každém modulu projdeme (až) q^d stavů a spočítáme váhu nejlehčí cesty, která do každého stavu vede.
 - ▶ Pro každý stav tedy zvážíme všechny vstupující hrany.
 - ▶ Do každého stavu vede v průměru $\frac{1}{q} \cdot q^n$ hran.
 - ▶ Zvážení jedné hrany vyžaduje n porovnání.
- ▶ Zpětný průchod má složitost $O(n)$ operací. (Zanedbatelné.)
- ▶ Časová složitost algoritmu je $O(q^{d+n-1}\ell n)$ skalárních operací.
- ▶ Složitost ještě vylepšíme na $O(q^{d+2}\ell n)$ vektorových operací tak, že rozvineme treláž.

Rozvinutí modulů

- ▶ Každý přechod automatu rozvineme na $n + 1$ podkroků.
- ▶ Čili každý modul rozvineme na $n + 1$ podmodulů.
- ▶ Připomeňme algoritmus konvoluční extrakce:
 - 1 $(s_0, \dots, s_d) := (0, \dots, 0)$
 - 2 **for** $i = 0, \dots, \ell - 1$ **do**
 - 3 **for** $j = 1, \dots, n$ **do**
 - 4 $(s_0, \dots, s_d) := (s_0, \dots, s_d) + y_i^{(j)}(f_0^{(j)}, \dots, f_d^{(j)})$
 - 5 $z_i := s_0$
 - 6 $(s_0, \dots, s_d) := (s_0, \dots, s_d) + s_0(g_0, \dots, g_d)$
 - 7 $(s_0, \dots, s_d) := (s_1, \dots, s_d, 0)$
 - 8 **return** $\{z_i\}_{i=0}^{\ell-1}$

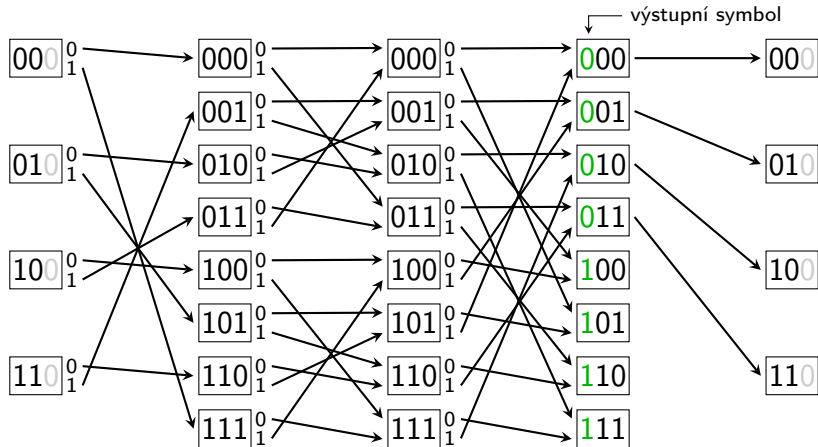
Příklad: Rozvinutí přechodu automatu



Na počátku máme $(s_0, s_1, s_2) = (1, 0, 0)$. Podkroky pak jsou:

1. $(s_0, s_1, s_2) := (s_0, s_1, s_2) + \mathbf{1}(1, 1, 1) = (0, 1, 1)$ [řádek 4]
2. $(s_0, s_1, s_2) := (s_0, s_1, s_2) + \mathbf{0}(0, 1, 1) = (0, 1, 1)$ [řádek 4]
3. $(s_0, s_1, s_2) := (s_0, s_1, s_2) + \mathbf{1}(1, 0, 1) = (1, 1, 0)$ [řádek 4]
4. $(s_0, s_1, s_2) := (s_0, s_1, s_2) + \mathbf{1}(0, 0, 1) = (1, 1, 1)$ [řádek 6]
 $(s_0, s_1, s_2) := (s_1, s_2, 0) = (1, 1, 0)$ [řádek 7]

Rozvinutí modulu s výstupem 0



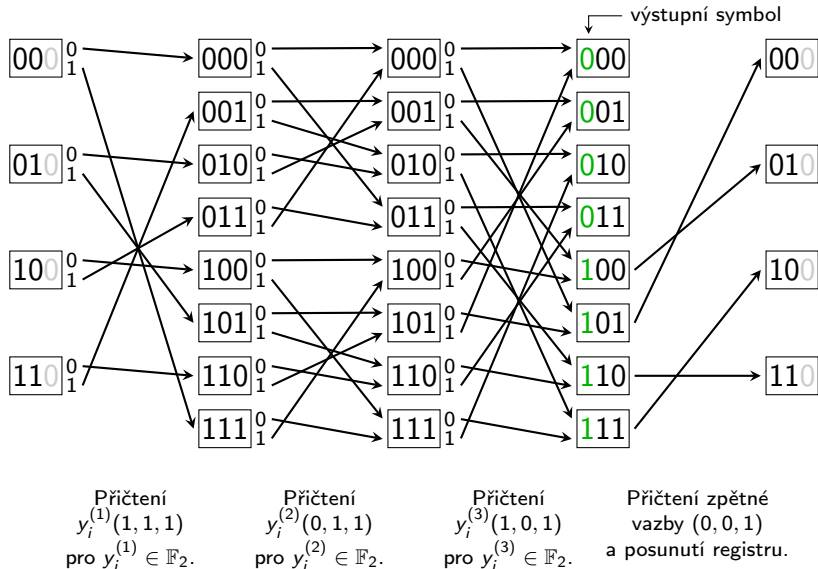
Přičtení
 $y_i^{(1)}(1, 1, 1)$
 pro $y_i^{(1)} \in \mathbb{F}_2$.

Přičtení
 $y_i^{(2)}(0, 1, 1)$
 pro $y_i^{(2)} \in \mathbb{F}_2$.

Přičtení
 $y_i^{(3)}(1, 0, 1)$
 pro $y_i^{(3)} \in \mathbb{F}_2$.

Posunutí registru.

Rozvinutí modulu s výstupem 1



Rozvinutá treláž a distorzní funkce

- ▶ Trelážové moduly nahradíme jejich rozvinutými verzemi.
- ▶ Viterbiho algoritmus najde cestu rozvinutou treláží, která se nejvíce „podobá“ nosiči.
- ▶ Algoritmus umí zohlednit váhy jednotlivých změn v nosiči.
- ▶ Ke každému prvku nosiče $x_i^{(j)}$ přiřazujeme distorzní funkci $\rho_i^{(j)} : \mathbb{F}_q \rightarrow \mathbb{R}$.
- ▶ Hodnota $\rho_i^{(j)}(a)$ udává, jak moc by přispělo nastavení $y_i^{(j)} = a$ ve stegoobjektu k celkové distorzi vyvolané vkládáním.

Příklady distrozních funkcí

- ▶ Chceme-li Hammingovu metriku, definujeme

$$\rho_i^{(j)}(a) = \begin{cases} 0, & \text{jestliže } a = x_i^{(j)}, \\ 1, & \text{jestliže } a \neq x_i^{(j)}. \end{cases}$$

- ▶ Pro psaní na mokrý papír definujeme

$$\rho_i^{(j)}(a) = \begin{cases} \infty, & \text{jestliže prvek na } j\text{-té pozici v } i\text{-tém bloku} \\ & \text{je mokrý a zároveň } a \neq x_i^{(j)}, \\ 0 & \text{jinak.} \end{cases}$$

- ▶ Pro vkládání při kvantizaci definujeme

$$\rho_i^{(j)}(a) = (\text{distorze při vložení } a) - (\text{distorze při zaokrouhlení}).$$

Algoritmus (vkládání pomocí Viterbiho algoritmu)

vstup: distorzní funkce prvků nosiče $\{\rho_i\}_{i=0}^{\ell-1}$, zpráva $\{z_i\}_{i=0}^{\ell-1}$ nad \mathbb{F}_q ,
parametry $f_j^{(k)} \in \mathbb{F}_q$ a $g_j \in \mathbb{F}_q$

výstup: stegoobjekt $\{y_i\}_{i=0}^{\ell-1}$

— Inicializace.

1 **for** $\mathbf{s} \in \mathbb{F}_q^{d+1} \setminus \{\mathbf{0}\}$ **do**

2 $w[\mathbf{s}] := \infty$

3 $w[\mathbf{0}] := 0$

— Dopředný průchod trelláží.

4 **for** $i = 0, \dots, \ell - 1$ **do**

5 **for** $j = 1, \dots, n$ **do**

6 **for** $\mathbf{s} \in \mathbb{F}_q^{d+1}$ **do**

7 $path_i^{(j)}[\mathbf{s}] := \arg \min_{a \in \mathbb{F}_q} w[\mathbf{s} - a(f_0^{(j)}, \dots, f_d^{(j)})] + \rho_i^{(j)}(a)$

8 $w'[\mathbf{s}] := \min_{a \in \mathbb{F}_q} w[\mathbf{s} - a(f_0^{(j)}, \dots, f_d^{(j)})] + \rho_i^{(j)}(a)$

9 $w := w'$

10 **for** $(s_0, \dots, s_{d-1}) \in \mathbb{F}_q^d$ **do**

11 $w'[(s_0, \dots, s_{d-1}, 0)] := w[(z_i, s_0, \dots, s_{d-1}) - z_i(g_0, \dots, g_d)]$

12 **for** $s_d \in \mathbb{F}_q \setminus \{0\}$ **do**

13 $w'[(s_0, \dots, s_d)] := \infty$

14 $w := w'$

Algoritmus (pokračování)

— Volba stavu, ve kterém končí nejlehčí cesta.

15 $(s_0, \dots, s_d) := \arg \min_{s' \in \mathbb{F}_q^{d+1}} w[s']$

— Rekonstrukce nejlehčí cesty zpětným průchodem treláže.

16 **for** $i = \ell - 1, \dots, 0$ **do**

17 $(s_0, s_1, \dots, s_d) := (z_i, s_0, \dots, s_{d-1}) - z_i(g_0, \dots, g_d)$

18 **for** $j = n, \dots, 1$ **do**

19 $y_i^{(j)} := \text{path}_i^{(j)}[(s_0, \dots, s_d)]$

20 $(s_0, \dots, s_d) = (s_0, \dots, s_d) - y_i^{(j)}(f_0^{(j)}, \dots, f_d^{(j)})$

21 **return** $\{y_i\}_{i=0}^{\ell-1}$

► $w[\mathbf{s}] =$ váha nejlehčí cesty, která vede do \mathbf{s} .

► $\text{path}_i^{(j)}[\mathbf{s}] =$ poslední hrana nejlehčí cesty, která vede do \mathbf{s} .

Složitost algoritmu

- ▶ Nejčastěji jsou volány instrukce na řádcích 7 a 8, celkem $(\ell n q^{d+1})$ -krát.
- ▶ Instrukce na řádku 7 provádí q -krát:
 - ▶ vektorovou operaci (nejdražší),
 - ▶ nahlédnutí do paměti,
 - ▶ volání $\rho_i^{(j)}(a)$ (předpokládáme v konstantním čase),
 - ▶ porovnání.
- ▶ Časová složitost: $O(q^{d+2}\ell n)$ vektorových operací.
- ▶ Obvykle stačí specializace algoritmu pro $q = 2$, kterou lze implementovat pomocí operací XOR.
- ▶ V poli *path* ukládáme $q^{d+1}\ell n$ prvků tělesa \mathbb{F}_q .
- ▶ Paměťová složitost: $O(q^{d+1}\ell n \log q)$ bitů.

Výsledky několika experimentů

- ▶ Stegosystém popsaný v příkladu dosahuje efektivity $e = 3,87$, přičemž $\alpha = 1/3$.
- ▶ Toto velmi dobře odpovídá efektivitě Hammingových kódů v dané oblasti.
- ▶ Použijeme-li větší registr lze dosáhnout lepších výsledků.
- ▶ Např. $d = 10$, pak pro $\alpha = 1/3$ lze dosáhnout efektivity 4,94.
- ▶ Přítomnost zpětné vazby $g(D)$ nevedla k měřitelnému zlepšení efektivity vkládání.